

*С.Л. ТОНКОНОГ, Л.Д. ЭСКИН*

## О ТОЧНОСТИ ПРИБЛИЖЕННЫХ СИММЕТРИЙ УРАВНЕНИЙ ДИНАМИКИ НЕНЬЮТОНОВСКОЙ ЖИДКОСТИ И ИХ ИНВАРИАНТНЫХ РЕШЕНИЯХ. II

Данная работа является второй частью работы [1], в которой изучались условия точной инвариантности уравнений, описывающих динамику поверхности неньютоновской жидкости с реологическим законом Оствальда-де Виля. Здесь с помощью методов качественной теории динамических систем [2] изучаются инвариантные решения этих уравнений, продемонстрировано и применение полученных результатов качественного анализа для решения краевых задач с инвариантными решениями. Сохранены все обозначения из [1], нумерация разделов и формул продолжает принятую там нумерацию.

**4.** Применим методику качественного исследования динамических систем на плоскости (см. [2], где также приведено много примеров; другие примеры имеются, напр., в [3] и [4]) к уравнению (2.17). С этой целью необходимо исследовать его особые точки, изоклину нуля и бесконечности, асимптотику интегральных кривых в окрестности особых точек и на бесконечности. Обозначим  $V = d_2 - pd_1$ . Если  $(d_1, d_2) \notin V = 0$ , то имеем две конечные особые точки:  $O(0, 0)$  и  $T(z_1, 0)$ ,  $z_1^{2n+1} = -rp^{-n}d_2$ . С помощью стандартной методики исследования особых точек [2] находим  $O(0, 0)$  — сложный седло-узел с неустойчивым узловым сектором, интегральные кривые выходят из точки  $O$  в направлении с угловым коэффициентом  $k = -d_2/d_1$ . В случае  $(d_1, d_2) \in V = 0$  особая точка исчезает, а уравнение (2.17) принимает вид

$$\begin{aligned} \frac{dy}{dz} &= \frac{P_1(z, y)}{Q_1(z, y)}, \\ P_1 &= y[(n+2)z^{n+1}w^{n-1} + npz^{n+2}w^{n-2}] + r^{-1}z^{n+2}w^{n-1} + d_1, \\ Q_1 &= -nyz^{n+2}w^{n-2}, \quad w = y + pz. \end{aligned}$$

Обозначим

$$a_n = \frac{(7n^2 + 10n + 4)r}{p(2n+1)^2}, \quad b_n = \frac{nraq}{p}, \quad \lambda_{1,2} = (a_n \pm 2\sqrt{b_n})q^{-1} > 0.$$

Будем иметь  $T$  — простой узел, если  $\frac{d_1}{d_2} < \lambda_2$  или  $\frac{d_1}{d_2} > \lambda_1$ ,  $T$  — простой фокус при  $\lambda_2 < \frac{d_1}{d_2} < \lambda_1$ . Траектории входят (выходят) в узел в направлениях с угловыми коэффициентами

$$K_{1,2} = (2b_n)^{-1} \left( \frac{d_1}{d_2}q - a_n \pm \sqrt{(a_n - \frac{d_1}{d_2}q)^2 - 4b_n} \right), \quad 0 > K_1 > K_2.$$

На бесконечности имеем простое седло в направлении с угловым коэффициентом  $K_3 = -\frac{1}{2(n+1)r}$  и сложные узлы в направлении прямой  $z = 0$  и  $w = 0$ . При исследовании ветвей изоклины нуля (алгебраическая кривая  $P(z, y) = 0$ ) необходимо учитывать, что она пересекает координатные оси (в случае  $(d_1, d_2) \notin V = 0$ ) лишь в точках  $O$  и  $T$  и не пересекает в точках, отличных от  $O$ , прямую  $w = 0$ . Ветви изоклины бесконечности — прямые  $z = 0$ ,  $y = 0$ ,  $w = 0$ .

---

Работа выполнена при финансовой поддержке Российского фонда фундаментальных исследований (проект № 00-01-00128).

Необходимо отметить, что параметрическая плоскость  $d_1, d_2$  разбивается на ряд областей, ограниченных бифуркационными кривыми, причем для точек  $(d_1, d_2)$ , принадлежащих одной и той же области, качественное поведение интегральных кривых одно и то же, а для точек  $(d_1, d_2)$  из разных областей различно. Для уравнения (2.17) бифуркационными кривыми являются прямые  $V = 0$ ,  $d_1 = 0$ ,  $d_2 = 0$ ,  $d_1 - \lambda_1 d_2 = 0$ ,  $d_1 - \lambda_2 d_2 = 0$ .

Приведем результаты качественного анализа интегральных кривых уравнения (2.17) в случае

$$(d_1, d_2) \in A_1 = \{(d_1, d_2) : V > 0, d_1 > 0, d_2 > 0, d_1 - \lambda_1 d_2 > 0\}.$$

Асимптотика ветвей изоклины нуля имеет вид

$$\begin{aligned} y_1 &\sim -\frac{d_2 z}{d_1}, \quad z \rightarrow 0, \quad y_2 \sim -\left(\frac{d_1}{n+2}\right)^{1/n} z^{-\frac{n+1}{n}}, \quad z \rightarrow 0, \\ w(y_3, z) &\sim \pm \left(\frac{V}{nq^2}\right)^{\frac{1}{n-1}} z^{-\frac{n+2}{n-1}}, \quad z \rightarrow +\infty, \\ y_{4,5} &\sim m_{1,2} z, \quad z \rightarrow \pm\infty, \quad m_{1,2} = -\frac{2n^2 + 11n + 8 \mp \sqrt{4n^4 + 24n^3 + 57n^2 + 32n}}{2p} q^2, \\ m_2 &< -p < m_1 < 0. \end{aligned}$$

С помощью этих асимптотик и сделанного выше замечания о точках пересечения изоклины нуля с координатными осями и прямой  $w = 0$  нетрудно заключить, что в данном случае  $(d_1, d_2) \in A_1$  возможны лишь три случая расположения ветвей изоклины нуля, изображенных соответственно на рис. 1–3. Производная  $\frac{dy}{dz}$  в силу уравнения (2.17) меняет знак, лишь когда интегральная кривая пересекает ветвь изоклины нуля или бесконечности (кроме прямой  $w = 0$ , т. к.  $n$  нечетно). На рис. 1–3 указаны знаки  $\frac{dy}{dz}$  в каждой из областей, на которые эти ветви разбивают плоскость  $z, y$ .

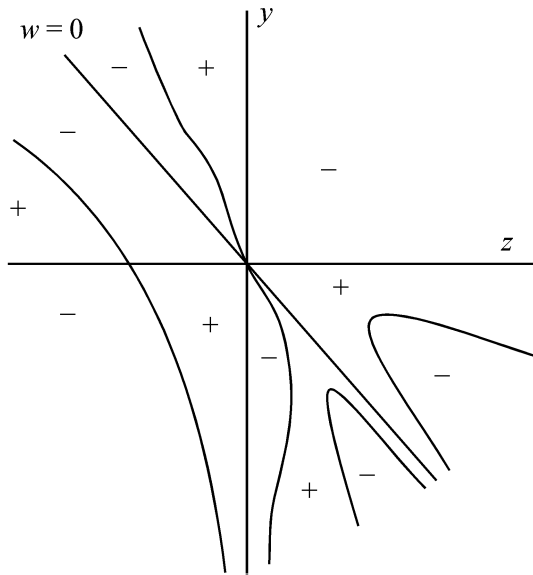


Рис. 1

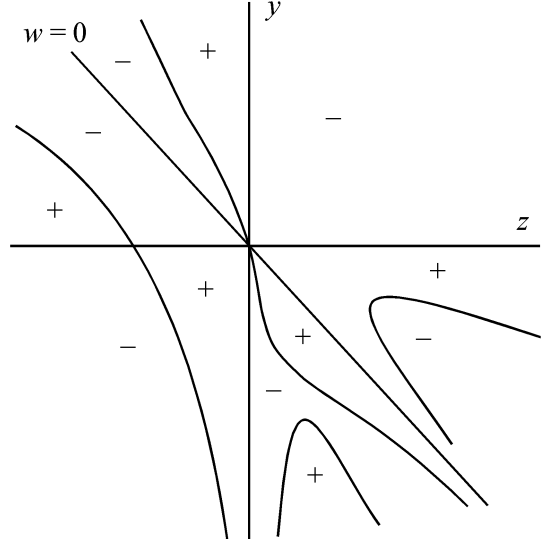


Рис. 2

Отметим асимптотику интегральных кривых при  $z \rightarrow 0$  и  $z \rightarrow \infty$ :

- 1) пучок с асимптотикой  $y \sim Az^{-\frac{n+2}{n}}$ ,  $z \rightarrow 0$ ,  $A$  любое;
- 2) интегральная кривая с асимптотикой  $y \sim -d_1^{1/n} z^{-\frac{n+1}{n}}$ ,  $z \rightarrow 0$ ;
- 3) пучок с асимптотикой  $w(y, z) \sim Bz^{-\frac{n-1}{n+2}}$ ,  $z \rightarrow \pm\infty$ ,  $B$  любое;
- 4) интегральная кривая с асимптотикой  $w(y, z) \sim -\left(\frac{V}{2}\right)^{1/n} z^{-\frac{n+1}{n}}$ ,  $z \rightarrow \pm\infty$ .

Объединив все полученные результаты, теперь нетрудно описать качественное поведение интегральных кривых уравнения (2.17) в случае  $(d_1, d_2) \in A_1$ . Оказывается, что это поведение одно и то же независимо от возможного различия в расположении ветвей изоклины нуля (рис. 1–3). Оно приведено на рис. 4.

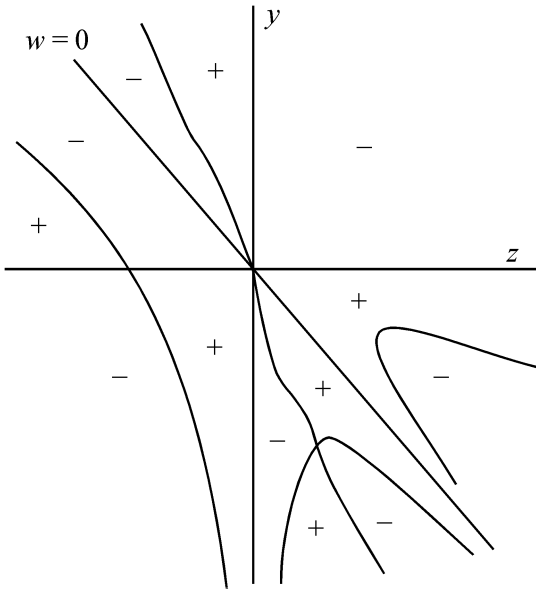


Рис. 3

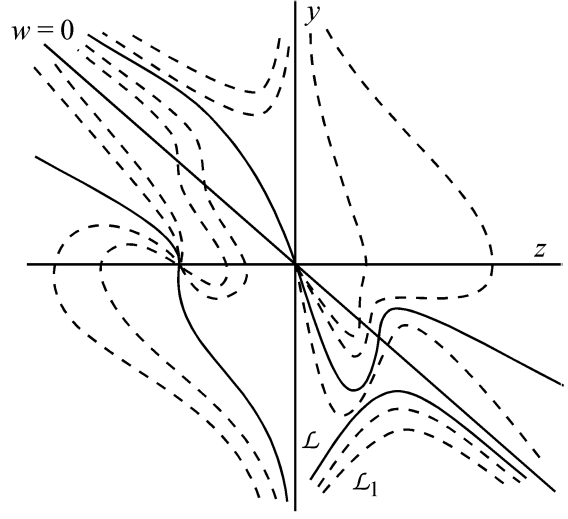


Рис. 4

Приведем пример применения результатов качественного исследования. Рассмотрим область

$$D = \{(x, t) : x_1(t) < x < x_0(t)\}, \quad (4.1)$$

$$x_1 = C_2^{-1} \zeta_3 (\varepsilon^{-1} \theta_1 - \varphi \theta'_2), \quad x_0 = \zeta_3 (J_0 + C_2^{-1} (\varepsilon^{-1} \theta_1 - \varphi \theta'_2)).$$

Будем искать в области  $D$  решение уравнения (2.1) с функцией  $\psi$  (2.12), удовлетворяющее граничным условиям

$$u|_{x=x_1(t)} = \zeta_4, \quad u|_{x=x_0(t)} = 0, \quad u^2 \sigma^n|_{x=x_0(t)} = 0 \quad (4.2)$$

( $x_0(t)$  — линия фронта решения). Линию фронта будем считать неизвестной (следовательно, неизвестно значение  $J_0 > 0$ , оно должно быть определено в процессе решения поставленной задачи, которая типична для динамики неньютоновской жидкости). Решение будем искать в виде (2.4), (2.5) (именно с этой целью выбрали границу  $D$  в виде (4.1)). Для функции  $\chi_1$  получим уравнение (2.13) и граничные условия

$$\chi_1|_{J=0} = 1, \quad \chi_1|_{J=J_0} = 0, \quad \chi_1^{n+2} \chi_1'|_{J=J_0} = 0. \quad (4.3)$$

Построим монотонно убывающее по  $J$  решение  $\chi_1$  этой задачи (т. е. монотонно убывающее по  $x$  решение  $u(x, t)$  граничной задачи (2.1), (4.2)). С этой целью рассмотрим однопараметрическое семейство  $\chi_1(J, J_0)$  (параметр семейства обозначим через  $J_0 > 0$ ), порожденное интегральной кривой  $\mathcal{L}$  уравнения (2.17) с асимптотикой

$$y \sim -d_1^{1/n} z^{-\frac{n+1}{n}}, \quad z \rightarrow 0, \quad w(y, z) \sim -\left(\frac{V}{2}\right)^{1/n} z^{-\frac{n+1}{n}}, \quad z \rightarrow \infty. \quad (4.4)$$

С учетом уравнения  $J^{-1}dJ = y^{-1}dz$ , соотношений  $\chi_1 = J^p z$ ,  $\chi'_1 = J^{-(n-1)q} w$  и асимптотики (4.4) при  $z \rightarrow 0$  получим

$$\begin{aligned}\chi_1 &\sim C_n(J_0 - J)^{nq}, \quad \chi'_1 \sim -nqC_n(J_0 - J)^{-(n+1)q}, \\ C_n &= \left( \frac{1}{nq}(d_1 J_0^2)^{1/n} \right)^{nq}, \quad J \rightarrow J_0 - 0.\end{aligned}\tag{4.5}$$

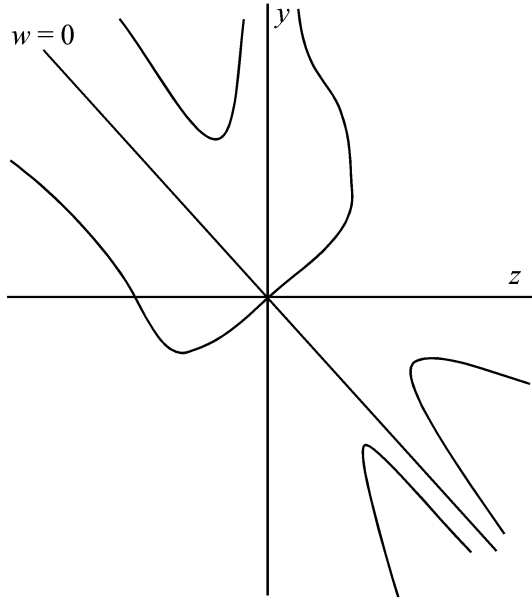


Рис. 5

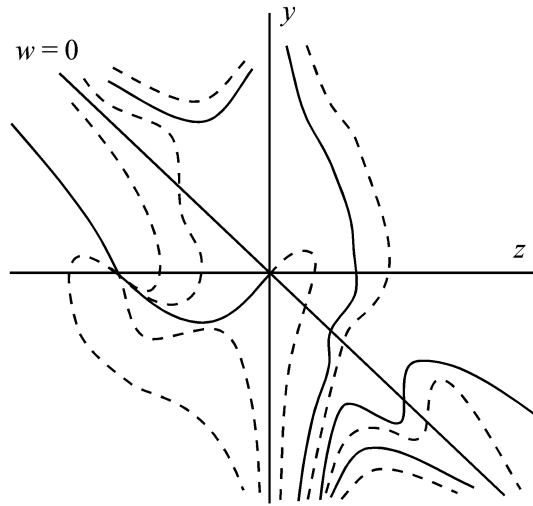


Рис. 6

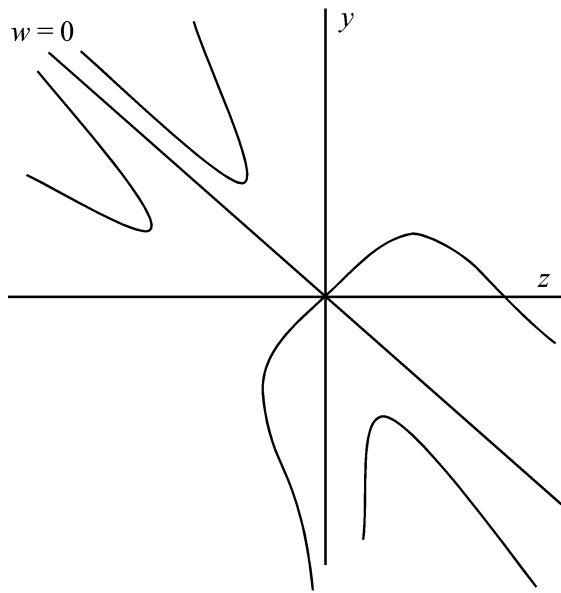


Рис. 7

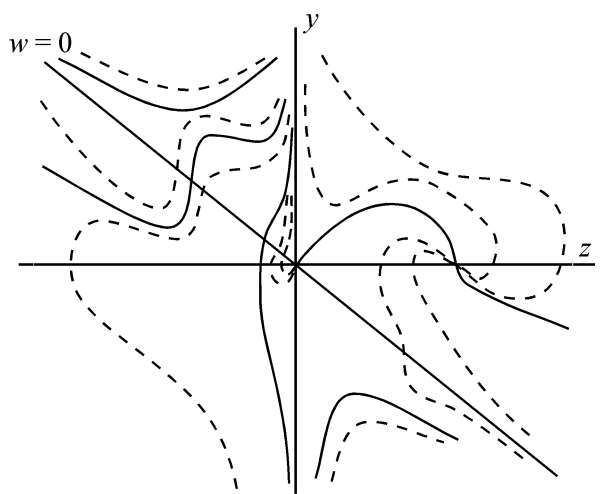


Рис. 8

Из (4.5) следует, что функция  $\chi_1$  удовлетворяет граничным условиям при  $J = J_0$ . Аналогично, с помощью асимптотики (4.4) для  $w$  при  $z \rightarrow \infty$  без труда находим, что  $z \sim (\frac{J}{J_1})^{-p}$ ,  $J \rightarrow 0$ , где  $J_1 = J_1(J_0) > 0$  является однозначной функцией параметра  $J_0$  и может быть при каждом заданном значении  $J_0 > 0$  определено численно. Получаем  $\chi_1(0) = J_1^p$ . Граничное условие (4.3) в точке  $J = 0$  будет выполнено, если теперь  $J_0$  определить из уравнения  $J_1(J_0) = 1$ . Построенное

решение  $\chi_1$  монотонно убывает по  $J$ , т. к. кривая  $\mathcal{L}$  принадлежит сектору, в котором  $w$ , а вместе с ним  $\chi'_1$ , отрицательны. Вместе с  $\chi_1$  монотонно убывает по  $x$  и решение  $u(x, t)$  граничной задачи (4.2) для уравнения (2.1). Отметим, что граничное условие (4.2) на фронте можно заменить условием  $u(\infty, t) = 0$ ,  $u^2 \sigma^n|_{x=\infty} = 0$ , тогда следует при  $x \geq x_0(t)$  положить  $u = 0$ .

**Замечание 1.** Для потока  $u^2 \sigma^n$  получаем  $u^2 \sigma^n|_{x=x_1} = 0$ .

**Замечание 2.** Примеры решения граничной задачи (2.1), (4.2) с отличным от нуля потоком  $u^2 \sigma^n$  при  $x = x_0(t)$  (на фронте) можно получить с помощью решений уравнения (2.1), порожденных интегральными кривыми уравнения (2.17), принадлежащими семейству  $\mathcal{L}_1$  (см. рис. 4).

В случае  $(d_1, d_2) \in A_2 = \{(d_1, d_2) : V > 0, d_1 > 0, d_2 > 0, d_1 - \lambda_2 d_2 < 0\}$  качественное поведение интегральных кривых сохраняется, а если  $(d_1, d_2) \in A_3 = \{(d_1, d_2) : V > 0, d_1 > 0, d_2 > 0, d_1 - \lambda_1 d_2 < 0, d_1 - \lambda_2 d_2 > 0\}$ , то узел  $T$  превращается в фокус и интегральные кривые закручиваются вокруг него, в остальном все остается без изменений. Рассмотрим теперь случай  $(d_1, d_2) \in B_1 = \{(d_1, d_2) : d_1 < 0, d_2 > 0\}$ . Результаты исследования ветвей изоклины нуля для этого случая представлены на рис. 5, а качественного поведения интегральных кривых — на рис. 6.

На рис. 7, 8 представлены результаты исследования ветвей изоклины нуля и интегральных кривых в случае  $(d_1, d_2) \in B_2 = \{(d_1, d_2) : d_1 > 0, d_2 < 0\}$ .

Аналогично можно рассмотреть и остальные случаи (в том числе и те, когда точка  $(d_1, d_2)$  принадлежит одной из бифуркационных прямых).

## Литература

1. Тонконог С.Л., Эскин Л.Д. *О точности приближенных симметрий уравнений динамики неньютоновской жидкости и их инвариантных решениях. I* // Изв. вузов. Математика. – 2003. – № 8. – С. 53–62.
2. Баутин Н.Н., Леонтьевич Е.А. *Методы и приемы качественного исследования динамических систем на плоскости*. – М.: Наука, 1990. – 488 с.
3. Самарский А.А., Галактионов В.А., Курдюмов С.П., Михайлов А.П. *Режимы с обострением в задачах для квазилинейных параболических уравнений*. – М.: Наука, 1987. – 477 с.
4. Эскин Л.Д. *О некоторых решениях задачи о распаде разрыва в динамике неньютоновской жидкости* // Изв. вузов. Математика. – 2002. – № 4. – С. 71–79.

Казанский государственный  
университет

Поступили  
первый вариант 15.03.1996  
окончательный вариант 27.03.2003